

УДК 518.6:513.7

ЧИСЛЕННЫЙ МЕТОД РЕШЕНИЯ
ПЛОСКИХ ЗАДАЧ ТЕОРИИ УПРУГОСТИ
НА ОСНОВЕ *RT*-АЛГОРИТМА КОНФОРМНОГО ОТОБРАЖЕНИЯ

РАБИНОВИЧ Б. И., ТЮРИН Ю. В.

Рассматривается численный метод решения плоских задач теории упругости на основе нового алгоритма конформного отображения произвольной односвязной области на круг и произвольной двусвязной области с кусочно-гладким контуром на круговое кольцо в классической постановке [1]. Соответствующие внешние задачи приводятся к указанным с помощью преобразования инверсии и дробно-линейного преобразования.

Численные методы конформного отображения, основы которых заложены в [2] (см., например, [3-6]), трудны для реализации на ЭВМ, поскольку соответствующие алгоритмы, сводящие задачу к линейной алгебраической, в случае областей сложной конфигурации требуют задания большого числа точек на контуре.

В работе применен разработанный авторами с использованием вариационного принципа М. А. Лаврентьева [7, 8] (см. также [9]) многошаговый алгоритм конформного отображения (*RT*-алгоритм), обобщающий [10, 11]. Алгоритм включает две рекуррентные процедуры: внутреннюю (*R*-процедура) и внешнюю (*T*-процедура). На каждом шаге используется принцип М. А. Лаврентьева, которому придана форма, удобная для численной реализации на ЭВМ. *RT*-алгоритм реализован в виде программы на языке Фортран-4, проверен на широком спектре задач и применен, в частности, для решения задачи Сен-Венана о кручении бруса с поперечным сечением сложной конфигурации (эпитрохоидальным и крестообразным).

Полученные решения сравниваются в первом случае с аналитическим (точная отображающая функция [12]), во втором — с решениями, полученными методом тригонометрических рядов [13] и методом конечных элементов (МКЭ) [14].

1. Алгоритм точного конформного отображения области, близкой к кругу, на круг и обратного отображения (*R*-процедура). Пусть в плоскости комплексного переменного z задана замкнутая линия C , близкая к единичной окружности Γ . Ей соответствует близкая к кругу односвязная область $D_1(C)$ и внешняя область $D_2(C)$. Близость C к Γ определяется неравенствами

$$\begin{aligned} |\delta(\varphi)| < \varepsilon, \quad |\delta'(\varphi)| < \varepsilon, \quad |\delta''(\varphi)| < \varepsilon \\ r=r(\varphi)=1-\delta(\varphi), \quad r(\varphi)|_{\Gamma}=1 \quad (0 \leq \varphi \leq 2\pi) \end{aligned} \quad (1.1)$$

где $r(\varphi)$ — радиус-вектор точки контура C , φ — полярный угол, ε — малое положительное число; вариация $\delta(\varphi)$ считается положительной при варьировании контура Γ в направлении внутренней нормали. Пусть $w = f(z, C)$ — функция, отображающая область $D_1(C)$ плоскости z на единичный круг плоскости w , причем

$$w=f(z, C)|_{z=0}=0, \quad f'(z, C)|_{z=0}>0 \quad (1.2)$$

Используя интеграл Шварца и теорему о среднем [8], можно привести вариационный принцип М. А. Лаврентьева [7, 8] к следующей форме: при условиях (1.1) и (1.2) функция

$$w=f(z, C)=z[1+J(z)], \quad J(z)=\frac{1}{2\pi i} \oint_{\Gamma} u(\xi) \frac{\xi+z}{\xi-z} \frac{d\xi}{\xi} \quad (1.3)$$

где $\xi=e^{i\varphi}$, $u(\xi)=\delta[\varphi(\xi)]$ и контур обходится так, что область определения z остается слева, отличается от функции, реализующей конформное отображение области $D_1(C)$ на единичный круг и $D_2(C)$ на его внешность,

на малые не ниже второго порядка относительно ε . Введем в рассмотрение функцию $\omega(\xi)$:

$$\omega(\xi) = u(\xi) + iv(\xi) = \varepsilon \left(a_0 + \sum_{n=1}^{\infty} c_n \xi^n \right) \quad (1.4)$$

$$c_n = a_n - ib_n, \quad \xi = e^{i\varphi}, \quad v(0) = v(\infty) = 0$$

где εa_0 , εa_n , εb_n ($n=1, 2, \dots$) — коэффициенты разложения функции $\delta(\varphi)$, которая предполагается однозначной, непрерывной и 2π -периодической, в ряд Фурье на отрезке $0 \leq \varphi \leq 2\pi$ и сопряженную ей $\bar{\omega}(\xi)$.

Используя формулу Коши, представим функцию $J(z)$ (1.3) в другой форме:

$$J(z) = \varepsilon \left(a_0 + \sum_{n=1}^{\infty} c_n z^n \right), \quad \bar{J}(z) = \varepsilon \left(a_0 + \sum_{n=1}^{\infty} \bar{c}_n z^{-n} \right) \quad (1.5)$$

(которая здесь и в дальнейшем соответствует отображению внутренней области на единичный круг или внешней на его внешность).

Используя формулы (1.5), преобразуем функцию w :

$$w = f(z, C) = z \left[1 + \varepsilon \left(a_0 + \sum_{n=1}^{\infty} c_n z^n \right) \right] \quad (1.6)$$

$$\bar{w} = \bar{f}(z, C) = z \left[1 + \varepsilon \left(a_0 + \sum_{n=1}^{\infty} \bar{c}_n z^{-n} \right) \right]$$

Эти выражения удобны для численной реализации, так как сводят всю проблему к разложению непрерывной 2π -периодической функции в ряд Фурье.

Функция (1.6) отличается от точной функции, переводящей контур C плоскости z в единичную окружность плоскости w , на малые порядка не ниже ε^2 .

Функция $\Phi(w)$, являющаяся в первом приближении обратной для (1.6), определяется в соответствии с принципом М. А. Лаврентьева следующими формулами:

$$z = \Phi(w) = w \left[1 - \varepsilon \left(a_0 + \sum_{n=1}^{\infty} c_n w^n \right) \right] \quad (1.7)$$

$$\bar{z} = \bar{\Phi}(w) = w \left[1 - \varepsilon \left(a_0 + \sum_{n=1}^{\infty} \bar{c}_n w^{-n} \right) \right]$$

Эта функция также отличается от точной функции, обратной $f(z, C)$, на члены порядка не ниже ε^2 .

Можно построить на базе принципа М. А. Лаврентьева алгоритм отображения области, близкой к кругу, на круг и обратного отображения с любой наперед заданной точностью.

Подставим в правую часть первого равенства (1.7) в качестве w значения, соответствующие точкам единичной окружности Γ . Обратное отображение (1.7) переводит Γ в контур $C^{(1)}$, отличающийся от исходного контура C на малые порядка ε^2 или выше.

Отображение Γ на $C^{(1)}$ является точным. Задача теперь заключается в том, чтобы построить точное отображение $C^{(1)}$ на Γ . Воспользуемся первым выражением (1.6), которое представим в виде

$$z_1 = f_1(z, C^{(1)}) = z \left[1 + \varepsilon \left(a_0^{(1)} + \sum_{n=1}^{\infty} c_n^{(1)} z^{(n)} \right) \right] \quad (1.8)$$

где εa_0 и εc_n — коэффициенты Фурье функции $\delta^{(1)}(\varphi)$, соответствующей

контур $C^{(1)}$. Функция (1.8) реализует отображение контура $C^{(1)}$ на $C^{(2)}$, отличающийся от Γ на малые порядка не ниже ε^2 . Повторив ту же операцию m раз, получим на m -м шаге

$$z_m = f_m(z_{m-1}, C^{(m)}) = z_{m-1} \left[1 + \varepsilon \left(a_0^{(m)} + \sum_{n=1}^{\infty} c_n^{(m)} z_{m-1}^{-n} \right) \right] \quad (1.9)$$

где коэффициенты $\varepsilon a_0^{(m)}$ и $\varepsilon c_n^{(m)}$ относятся к функции $\delta^{(m)}(\varphi)$, соответствующей контуру $C^{(m)}$. Примем за расстояние от контура $C^{(m)}$ до единичной окружности Γ среднее квадратичное отклонение Δ_{Rm} , где в силу равенства Парсеваля

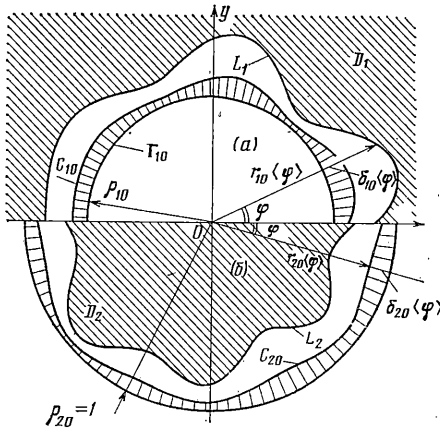
$$\Delta_{Rm}^2 = \frac{1}{2\pi} \int_0^{2\pi} [\delta^{(m)}(\varphi)]^2 d\varphi = \varepsilon^2 \left(a_0^{(m)^2} + \sum_{n=1}^{\infty} |c_n^{(m)}|^2 \right) \quad (1.10)$$

Можно показать, что последовательность отображающих функций (1.9) сходится по норме Δ_{Rm} , т. е. при любом наперед заданном малом положительном числе ε_R при некотором значении $m=M$ будет выполнено неравенство $\Delta_{Rm} \leq \varepsilon_R$.

Аналогичным образом строится и последовательность функций

$$z_m = f_m(z_{m-1}, C^{(m)}) = z_{m-1} \left[1 + \varepsilon \left(a_0^{(m)} + \sum_{n=1}^{\infty} \tilde{c}_n^{(m)} z_{m-1}^{-n} \right) \right] \quad (1.11)$$

соответствующая отображению внешней области (второе выражение (1.6)). Совокупность функций f_m (1.9) или (1.11) ($m=1, 2, \dots$) дает



Фиг. 1

точное в указанном смысле прямое отображение $w=F(z, C^{(1)})$ замкнутых областей, внутренних или внешних по отношению к $C^{(1)}$, а функции $z=\Phi(w)$ (1.7) — точные обратные отображения. Соответствующую рекуррентную процедуру, описанную выше, будем в дальнейшем называть R -процедурой.

2. Рекуррентный алгоритм конформного отображения произвольной односвязной области на круг и произвольной двусвязной области на круговое кольцо (Т-процедура). Рассмотрим сначала произвольную односвязную область D_2 плоскости z , ограниченную кусочно-гладким контуром L_2 . Требуется осуществить

конформное отображение области D_2 на единичный круг D_w плоскости w с контуром Γ_w так, чтобы заданная точка O области D_2 перешла в центр этого круга, и соответствующее обратное отображение.

Аналогичным образом формулируется внешняя задача (отображения области D_1 плоскости w , внешней по отношению к контуру L_1 , на внешность единичного круга плоскости w и обратное отображение). Предположим, что контуры L_j являются звездными по отношению к точке O (это допущение не является принципиальным и связано только с простейшим вариантом построения вариаций мажорирующих контуров, описываемым дальше).

Рассмотрим процедуру отображения на примере области D_1 . Введем вспомогательный контур в виде окружности Γ_{10} радиуса ρ_{10} с центром в начале координат O , вложенный в контур L_1 (при этом не исключается наличие у окружности Γ_{10} общих точек с L_1). Пронормируем переменную z так, чтобы получить $\rho_{10}=1$ (фиг. 1, а), и обозначим $\delta_{10}(\varphi)$ вариацию радиуса-вектора точек контура Γ_1 , которую будем считать положительной,

если она направлена в сторону внешней нормали, и определим соотношением

$$\begin{aligned} \delta_{10}(\varphi) &= \varepsilon_{10} [r_{10}(\varphi) - 1], \quad \varepsilon_{10} = \varepsilon_0 \gamma_{10} / (\gamma_{10} + \varepsilon_0) \\ \gamma_{10} &= [r_{10}(\varphi)]_{\max} - 1 \quad (0 \leq \varphi \leq 2\pi) \end{aligned} \quad (2.1)$$

где $r_{10}(\varphi) \geq 1$ — радиус-вектор произвольной точки контура с началом в точке O , ε_0 — произвольно выбираемый малый параметр. Ограничения, наложенные на контур L_1 , обеспечивают однозначность и непрерывность функции $\delta_{10}(\varphi)$, которой соответствует контур L_1 , близкий к окружности Γ_{10} (фиг. 1, а). Чтобы удовлетворить условиям (1.1), функцию $\delta_{10}(\varphi)$ можно подвергнуть дополнительному сглаживанию. Пусть эта операция проведена и для всех рассматриваемых вариаций условия (1.1) выполнены. Воспользуемся R -процедурой п. 1:

$$z = \Phi_{10}(z_1), \quad z_1 = F_{10}(z, C_{10}^{(1)}) \quad (2.2)$$

основанной на выражении (1.11), в котором надо изменить знак перед ε на противоположный в соответствии с (2.1). В результате получим точное конформное отображение контура $C_{10}^{(1)}$, близкого к C_{10} , на единичную окружность плоскости w и точное обратное отображение (нижний индекс соответствует номеру контура). Контур L_1 перейдет в силу (2.2) в новый контур L_{11} с уравнением

$$z_1 = F_{10}(z_1^0, C_{10}^{(1)}) \quad (2.3)$$

Вложим в L_{11} новый вспомогательный контур Γ_{11} с центром в точке O_1 , являющейся образом O (фиг. 1, б), имеющий, быть может, общие точки с L_1 , и пронормируем переменную z_1 так, чтобы получить единичный радиус у окружности Γ_{11} . Сформируем вариацию $\delta_{11}(\varphi)$ радиуса-вектора точек Γ_{11} , удовлетворяющую условиям (1.1), аналогичную (2.1). Ей будет соответствовать контур C_{11} , близкий к Γ_{11} . Повторное применение R -процедуры (2.2) позволяет построить точное отображение области, внешней по отношению к контуру $C_{11}^{(1)}$, близкого к C_{11} , на внешность единичного круга плоскости z_2 и соответствующее обратное отображение

$$z_2 = f_{11}(z_1, C_{11}), \quad z_1 = \Phi_{11}(z_2), \quad z_2 = F_{11}(z, C_{11}^{(1)}) \quad (2.4)$$

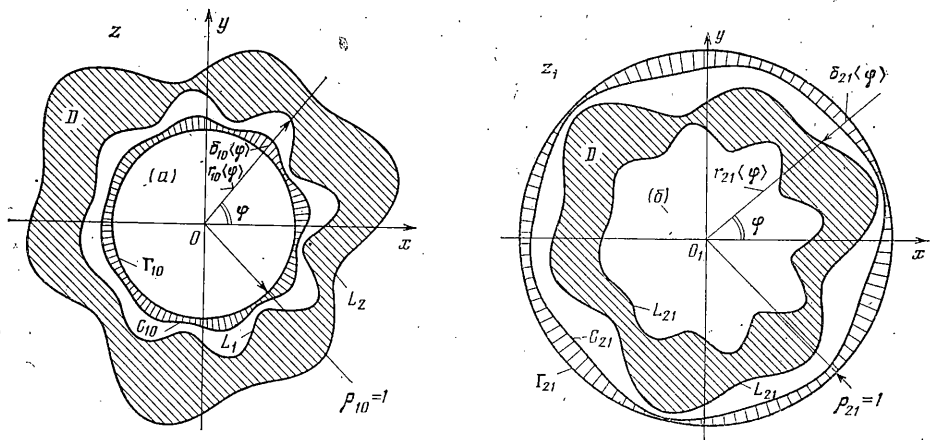
Совокупность перечисленных операций образует первые два шага рекуррентного процесса

$$z_k = f_{1, k-1}(z_{k-1}, C_{1, k-1}), \quad z_{k-1} = \Phi_{1, k-1}(z_k) \quad (2.5)$$

$z_k = F_{1, k-1}(z_{k-1}, C_{1, k-1}^{(1)})$ ($k=1, 2, \dots$; $z_0 = z$, $z_k = w$ при $k=K_1$) который приводит к последовательности функций, мажорирующих контур L_1 , сходящейся по норме Δ_{T_k} , т. е. при любом наперед заданном малом положительном числе ε_T при некотором значении $k=K_1$ будет выполнено неравенство $\Delta_{T_k} \leq \varepsilon_T$. Здесь Δ_{T_k} — среднее квадратичное расстояние от преобразованного контура до единичной окружности.

Описанную новую рекуррентную процедуру будем называть T -процедурой.

Аналогично строится T -процедура при отображении области D_2 , внутренней по отношению к границе L_2 на единичный круг (фиг. 1, б). Можно показать, что соответствующая мажорирующая последовательность обладает тем же свойством сходимости по норме, что и порождаемая процессом (2.5), т. е. при некотором k выполняется неравенство $\Delta_{T_k} \leq \varepsilon_T$. Таким образом, функции $w(z)$ и $z(w)$, порождаемые T -процедурой, осуществляющие прямое и обратное отображения в обеих задачах — внутренней и внешней, получаются в виде рекуррентных последовательностей рядов Тейлора и Лорана с известными коэффициентами.



Фиг. 2

Рассмотрим двусвязную область $D(C_1, C_2)$, ограниченную замкнутыми линиями, близкими к концентрическим окружностям Γ_1 и Γ_2 в том смысле, что удовлетворяются условия

$$\begin{aligned} |\delta_j(\varphi)| < \varepsilon h, \quad |\delta_j'(\varphi)| < \varepsilon h, \quad |\delta_j''(\varphi)| < \varepsilon h \\ \delta_1(\varphi) = r_1(\varphi) = \rho_{10}, \quad \delta_2(\varphi) = 1 - r_2(\varphi) \quad (0 \leq \varphi \leq 2\pi) \\ r_1(\varphi)|_{\Gamma_1} = \rho_{10} < 1, \quad r_2(\varphi)|_{\Gamma_2} = \rho_{20} = 1, \quad h = 1 - \rho_{10} \end{aligned} \quad (2.6)$$

где φ — полярный угол, r_j — радиусы-векторы точек линий C_1, C_2 , проведенные из общего центра окружностей Γ_1, Γ_2 , ε — произвольное малое положительное число.

Пусть $w = f(z, C_1, C_2)$ — функция, отображающая область D плоскости z на круговое кольцо плоскости w с единичным внешним радиусом, причем $f(z, C_1, C_2)|_{z=0} = 0$, $f'(z, C_1, C_2)|_{z=0} > 0$. Вариацию $\delta_1(\varphi)$ будем, в отличие от (1.1), считать положительной при варьировании Γ_1 в направлении внешней нормали, $\delta_2(\varphi)$ — при варьировании Γ_2 в направлении внутренней нормали.

Используя вариационный принцип М. А. Лаврентьева, представим отображающую функцию w (1.8) в форме, аналогичной (1.6):

$$w = f(z, C_1, C_2) = z \left[1 - \varepsilon \left(a_{10} + \sum_{n=1}^{\infty} \bar{c}_{1n} z_1^{-n} \right) + \varepsilon \left(a_{20} + \sum_{n=1}^{\infty} c_{2n} z_2^n \right) \right] \quad (2.7)$$

где $\varepsilon c_{jn} = \varepsilon a_{jn} - i \varepsilon b_{jn}$, εa_{j0} , εa_{jn} , εb_{jn} — коэффициенты разложения функций $\delta_j(\varphi)$ в ряды Фурье на отрезке $0 \leq \varphi \leq 2\pi$, $z_j = z/\rho_{j0}$.

Пусть в плоскости z задана область в форме кольца D , ограниченного двумя замкнутыми непересекающимися кусочно-гладкими линиями L_1 и L_2 . Осуществим конформное отображение области D на круговое кольцо плоскости w так, чтобы линия L_2 перешла в единичную окружность Γ_{w2} , линия L_1 — в окружность Γ_{w1} меньшего радиуса, а заданная точка O плоскости z — в центр этих окружностей, и обратное отображение. Соответствующие отображения определяются, как и раньше, с точностью до произвольного угла поворота области D относительно точки O . Эта задача сводится к задаче предыдущего раздела, если воспользоваться функцией (1.6) и R - и T -процедурами.

Вложим во внутренний контур L_1 окружность Γ_{10} радиуса ρ_{10} и пронормируем переменную z так, чтобы получить $\rho_{10} = 1$ (фиг. 2, а). Положим в (1.3), (1.6) $\delta_2(\varphi) = 0$, $a_{20} = 0$, $c_{2n} = 0$ и сделаем первый шаг внешнего рекуррентного процесса, точно так же, как в случае односвязной области, по схеме (2.2), начиная с построения $\delta_{10}(\varphi)$ (фиг. 2, а). Для реализации второго шага вложим линию L_{21} в окружность Γ_{21} радиуса ρ_{21} с центром в точке O_1 (образ O в плоскости z_1) и пронормируем переменную z_1 так, чтобы получить $\rho_{21} = 1$ (фиг. 2, б). Положим в (1.3) $\delta_1(\varphi) = 0$ и, соответственно,

в (1.6) $a_{10}=0$, $c_{1n}=0$ и осуществим процедуру, аналогичную (2.5), начиная с построения вариации $\delta_{21}(\varphi)$ (фиг. 2, б). Дальнейшие шаги строятся по той же схеме. Таким образом реализуются две последовательности функций, мажорирующих с двух сторон кольцо D , одна из которых представлена рядами Тейлора, а другая — рядами Лорана.

Описанный рекуррентный алгоритм был реализован в виде программы на языке Фортран-4 для случаев односвязных и двусвязных областей. При этом удалось, усложнив формулы для построения вариации контура вписанной и описанной окружностей, снять требование звездности областей.

Для разложения в ряд Фурье была применена программа быстрого преобразования Фурье с использованием до 512 точек контура и максимальным числом членов ряда 129 ($n_{\max}=64$). Параметры ε_R , ε_T , ε_0 принимались при расчетах следующими: $\varepsilon_R=\varepsilon_T=2 \cdot 10^{-5}$; $\varepsilon_0=0,2$.

3. Задача Сен-Венана. Рассмотрим задачу Сен-Венана о кручении бруса, к торцам которого приложены системы усилий, статически эквивалентные парам сил с осями, совпадающими с продольной осью бруса, и моментами $\pm M$, а боковая поверхность свободна от внешних нагрузок.

Напряженное состояние полностью определяется, если известна комплексная функция кручения [12]:

$$F(z) = \varphi(z) + i\psi(z) \quad (3.1)$$

голоморфная в области S , соответствующей поперечному сечению бруса, и удовлетворяющая в случае односвязной области граничному условию

$$\psi|_L = (x^2 + y^2)/2 + C_0 \quad (3.2)$$

где L — контур области S , C_0 — произвольная постоянная.

Пусть функция

$$z = x + iy = \Phi(w) = \Phi(u + iv) \quad (3.3)$$

осуществляет конформное отображение области S плоскости z на круг S' плоскости w с контуром Γ единичного радиуса. Тогда легко построить функцию $F[z(w)] = f(w)$, являющуюся решением краевой задачи (3.1), (3.2) [12]. Жесткость бруса при кручении D определяется по следующей формуле [12]:

$$D = \mu \iint_S (x^2 + y^2) dx dy + \mu \iint_S \left(x \frac{\partial \varphi}{\partial y} - y \frac{\partial \varphi}{\partial x} \right) dx dy = \mu(I + D) \quad (3.4)$$

где μ — постоянная Ламе, I — полярный момент инерции сечения S , $|\Phi'(w)|^2$ — якобиан преобразования (3.3):

$$I = \iint_{S'} \Phi(w) \overline{\Phi(w)} |\Phi'(w)|^2 du dv \quad (3.5)$$

$$D_0 = -\frac{1}{4} \oint_{\Gamma} [f(w) + \overline{f(w)}] d[\Phi(w) \overline{\Phi(w)}]$$

Обозначим $T = T_x + iT_y$ комплексное число, вещественная и мнимая части которого являются проекциями на оси Ox и Oy вектора касательных напряжений T . Сопряженное с T число \bar{T} выражается следующим образом через комплексную функцию кручения $f(w)$ [12] ($\tau = M/D$ — «степень кручения»):

$$\bar{T} = T_x - iT_y = \mu\tau [f'(w) / \Phi'(w) - i\overline{\Phi(w)}] \quad (3.6)$$

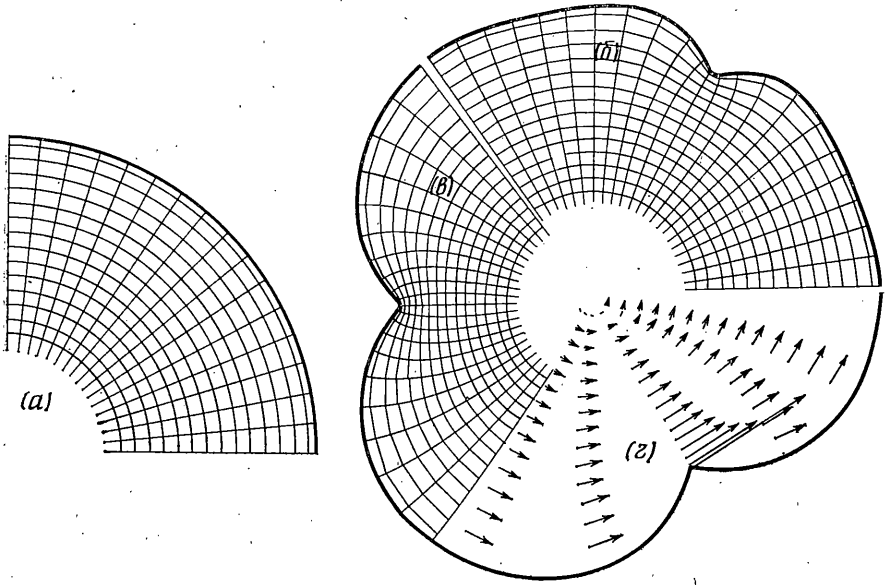
Рассмотрим брус эпитрохондального сечения, для которого известно точное выражение отображающей функции $\Phi(w)$ [12]. Примем за характерный размер l радиус окружности, описанной вокруг эпитрохоиды. Введем безразмерные величины

$$\Phi^* = \Phi/l, \quad T^* = T/\mu l \tau, \quad I^* = I/l^4 \\ D_0^* = D_0/l^4, \quad D^* = D/\mu l^4 \quad (3.7)$$

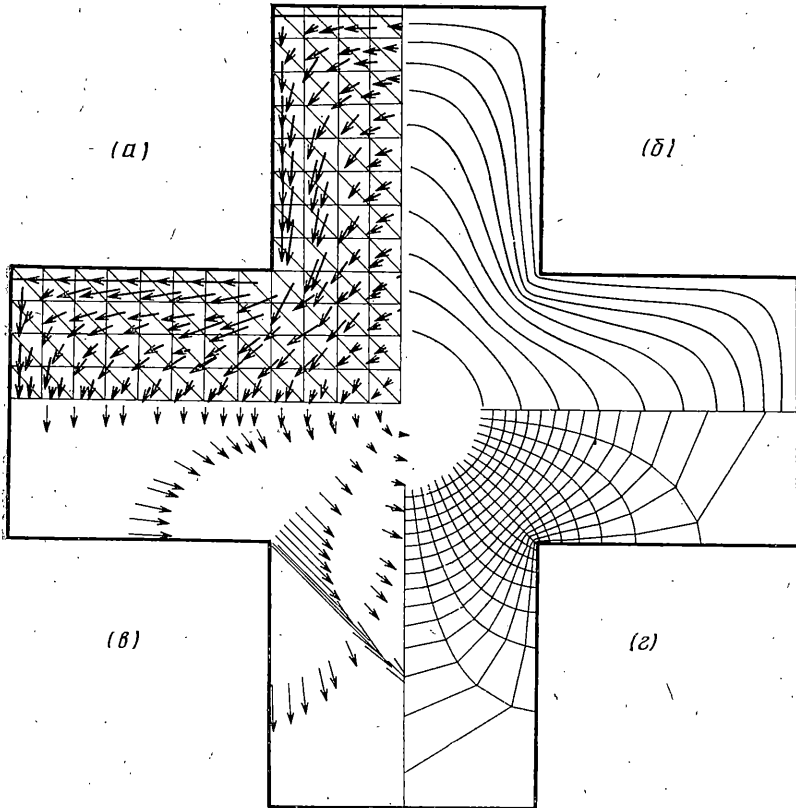
Точные выражения $\Phi^*(w)$, I^* , D_0^* , D^* имеют вид

$$\Phi^*(w) = (b/l)(w^n + aw), \quad I^* = (\pi/2)(b/l)^4 [a^4 + 2(n+1)a^2 + n] \\ D^* = (\pi/2)(b/l)^4 (a^4 + 4a^2 + n) \quad (3.8)$$

Положим $n=4$, $a=5$, $b/l=1/6$. На фиг. 3, а-в представлены части сетки полярных координат (a) и конформно-эквивалентных ей сеток (b , c), полученных на разных этапах конформного отображения с помощью RT -алгоритма (максимальное число шагов R -процедуры $M=5$; число шагов T -процедуры $K=15$). Картина, полученная с помощью функции (3.7), практически совпадает с фиг. 3, в. На фиг. 3, г показано соответствующее поле безразмерных напряжений (при $l=1$ принята для комплекс-



Фиг. 3



Фиг. 4

ных чисел T^* масштабная единица составляет 0,157). Приведем сравнение безразмерных величин I^* , D_0^* , D^* , $|T^*|_{\max}$, полученных по формулам (3.4)–(3.7) с использованием RT -алгоритма (первая колонка) и с использованием точной отображающей функции (3.8) (вторая колонка):

I^*	1,0651	1,0654
D_0^*	-0,4813	-0,4818
D^*	0,8837	0,8836
$ T^* _{\max}$	3,1546	3,1666

Максимальная (по всей области S) относительная погрешность безразмерного напряжения составляет $[|\Delta T^*|/|T^*|]_{\max} = 1,58 \cdot 10^{-2}$.

В качестве второго примера рассмотрим брус с сечением в форме равнобокого креста, для которого в [4] приведены некоторые характеристики, полученные с помощью тригонометрических рядов.

В данном случае за характерный размер l примем ширину стороны креста. Фиг. 4, а, б иллюстрирует решение задачи методом конечных элементов (МКЭ) [14], а именно разбиение исходной области на треугольные элементы и поле напряжений (a) и линии равного уровня функции $\text{Im } F(z) = \psi(z)$ с равномерным шагом по $\psi(z)$. На фиг. 4, в, г представлены результаты, полученные с помощью RT -алгоритма (максимальное число шагов R -процедуры $M=5$; число шагов T -процедуры $K=40$; при $l=1$ масштабная единица T^* равна 0,2). На фиг. 4, в показано поле напряжений, соответствующее сетке, представленной на фиг. 4, г, и конформно-эквивалентной сетке полярных координат. Приведем сравнение безразмерных характеристик I^* , D_0^* , D^* , $|T_0^*|$, полученных с помощью RT -алгоритма (первая колонка), методы тригонометрических рядов [13] (третья колонка) и МКЭ (вторая колонка)

I^*	4,7180	4,8333	4,8333
D_0^*	-2,8450	-2,9944	-2,9897
D^*	1,8730	1,8389	1,8436
$ T_0^* _{\max}$	0,6589		0,7821

Заметим, что при построении отображения с применением RT -алгоритма использовалось 400 точек на контуре, а при решении краевой задачи — 128 точек. При реализации МКЭ потребовалось для получения сопоставимой точности взять 369 узлов и соответственно 640 треугольных элементов. Приведенные примеры дают представление о конкурентоспособности численного метода решения плоских задач теории упругости, сводящихся к задаче Дирихле, для областей достаточно сложной конфигурации на основе RT -алгоритма конформного отображения.

Авторы выражают благодарность А. А. Лившицу и Е. Г. Соколину, получившим соответствующие решения на ЭВМ.

ЛИТЕРАТУРА

1. Келдыш М. В., Лаврентьев М. А. К теории конформных отображений.— Докл. АН СССР, 1935, т. 1, № 2–3, с. 85–88.
2. Голузин Г., Канторович Л., Крылов В., Мелентьев А., Муратов М., Степин Н. Конформное отображение односвязных и многосвязных областей. Л., М.: ОНТИ НКТП СССР, Главн. ред. общетехн. лит., 1937. 127 с.
3. Seidel W. Bibliography of numerical methods of conformal mapping.— Nat. Bureau of Stand., Appl. Math. Ser. No. 18, 1952, p. 269–280.
4. Betz A. Konforme Abbildung. В. et al.: Springer, 1964. 407 p.
5. Koppenfels W., Stallmann F. Praxis der Konformen Abbildung. В.: Springer, 1959. 375 p.
6. Фильчаков П. Ф. Численные и графические методы прикладной математики. Киев: Наук. думка, 1970. 791 с.
7. Лаврентьев М. А. Конформные отображения с приложениями к некоторым вопросам механики. М., Л.: Гостехиздат, 1946. 159 с.
8. Лаврентьев М. А., Шабат Б. В. Методы теории функций комплексного переменного. М., Л.: Гостехиздат, 1951. 607 с.
9. Александров И. А. Вариационные формулы для однолистных функций в двусвязных областях.— Сиб. мат. ж., 1963, т. 4, № 5, с. 961–976.
10. Рабинович Б. И., Тюрин Ю. В. Об одном рекуррентном численном методе конформного отображения.— Докл. АН СССР, 1983, т. 272, № 3, с. 532–535.
11. Рабинович Б. И., Тюрин Ю. В. Рекуррентный численный метод конформного отображения двусвязных областей на круговое кольцо.— Докл. АН СССР, 1983, т. 272, № 4, с. 795–798.
12. Мухомелишвили Н. И. Некоторые основные задачи математической теории упругости. М.: Изд-во АН СССР, 1954. 648 с.
13. Арутюнян Н. Х., Абрамян Б. Л. Кручение упругих тел. М.: Физматгиз, 1963. 686 с.
14. Сегерлинд Л. Применение метода конечных элементов. М.: Мир, 1979. 392 с.

Москва

Поступила в редакцию,
5.VIII.1985.